



Estimadores de frontera para los supuestos
clústeres mínimo potencial

Dr. Carlos Barrón Romero
Miércoles 20 de septiembre de 2023

Seminario de Investigación del Área: Álgebra,
Geometría y Computación Científica

1

Pozo de potencial

$$LJ(r) = \frac{1}{r^{12}} - \frac{2}{r^6}$$

$$M(a, r) = e^{a(1-r)}(e^{a(1-r)} - 2)$$

$$MR(r) = M(6, r)$$

$$MO(r) = M(5.3554, r)$$

<http://www.sv.vt.edu/class/surp/surp95/Yilma/MolecDyn/lj.html>

- No se fusionan las partículas, $r > 0$ se repelen
- Valle de equilibrio alrededor de r^* . Conjunto B (bond) aristas en (0.7, 1.3). Conjunto NB de aristas-diagonales de distancia ≥ 1.3
- Zona asintótica de baja atracción, $r \geq 1.3$

Bonded set (B): C. D. Maranas and C. A. Floudas. Global minimum Potential Energy Conformations of Small Molecules. *Journal of Global Optimization*, 4(2):135-170, 1994.

Pozo de potencial: P. M. Pardalos, D. Shalloway, and G. L. Xue. Optimization methods for computing global minima of nonconvex potential-energy functions. *Journal of Global Optimization*, 4(2):117-133, 1994.

4/27

4

Problema

Determinar el mínimo potencial (V) de conjuntos de n elementos donde el potencial depende de todos los pares de elementos

$$\min V_{14}$$

$$\min V_{15}$$

...

$$\min V_{n-1}$$

$$\min V_n$$

Minimización global: sobre todas los conjuntos de tamaño $n = 14, 15, \dots, n-1, n$

Posiblemente no se conocen todos los arreglos espaciales de n elementos

Difíciles de resolver

Alta complejidad

2/27

2

Algoritmo Evolutivo

Fenotipo (Coordenadas de partículas)
Genotipo (número de partícula)

Espacio de búsqueda

Fitness = Minimización

$$LJ(r) = \frac{1}{r^{12}} - \frac{2}{r^6}$$

$$M(a, r) = e^{a(1-r)}(e^{a(1-r)} - 2)$$

$$MR(r) = M(6, r)$$

$$MO(r) = M(5.3554, r)$$

Lattice Cúbica (CB%)

Lattice CIF

Preservando los de mínimo potencial

5/27

5

Resumen

- Los estimadores de frontera son para potenciales de partículas similares al comportamiento de decrecimiento del potencial negativo de Lennard Jones. Se incluyen potenciales positivos cuyo comportamiento es creciente.
- Su principal característica es que establecen que el potencial global de un clúster está estrictamente limitado por dos sencillos estimadores que dependen exclusivamente de los potenciales globales de los clústeres anterior y posterior.
- Esto beneficia a los métodos de optimización global de clústeres de partículas para distinguir soluciones.
- Gracias a la información compartida en Internet, los estimadores se han verificado con éxito para clústeres bajo diversos potenciales, por ejemplo, de Thomson, Lennard Jones, Morse, y para Quantum Lennard Jones para xenón, argón y neón.

Palabras clave: Nano Clústeres, Optimización Global, Nano Estructuras, Clústeres de Lennard Jones, Clústeres de Morse, Clústeres de Thomson.

3/27

3

Algoritmo evolutivo

Fenotipo

Genotipo

Combinación del DNA de clústeres o de lattice

0, 5, 7, 19, 25, 27, 52, 55, 58, 89, 92, 95, 124

1, 11, 17, 26, 28, 33, 38, 43, 48, 73, 76, 79, 100, 105, 110, 116, 120, 347

0, 5, 7, 19, 25, 27, 31, 182, 279, 284, 290, 292, 295, 304, 314, 323, 332, 342, 348, 740

0, 5, 7, 19, 25, 27, 52, 55, 58, 89, 92, 100, 105, 110, 116, 120, 347, 323, 332, 342, 740

Minimización

Selección del de mínimo potencial

Orientado a la geometría

+ EFICIENCIA

6/27

6

Minimización LBFGS

Modelo de minimización cuadrático de memoria reducida:

$$m_k(x) = f(x_k) + g_k^T(x - x_k) + 1/2(x - x_k)^T B_k(x - x_k)$$

donde x es el mínimo local, x_k es su aproximación, g_k gradiente, B_k es una aproximación limitada de la matriz del Hessiano de la función del problema.

Aproximación de Taylor de 2do Orden

$$LJ(x+h) = LJ(x) + \nabla LJ(x)h^T + 1/2h^T \nabla^2 LJ(x)h + o(h^3)$$

Las soluciones cumplen:

$$\nabla LJ(x^*) \approx 0 \quad \text{y} \quad LJ(x^*) \leq LJ(x^* + d)$$

donde $\|d\| \ll 1$.

J. L. Morales and J. Nocedal por algorithm 778: L-BFGS-B: Fortran subroutines for large-scale bound constrained optimization, 2011.

7/27

7

Resultados (3)

El cúmulo oLJ13_N13IC es el cúmulo mínimo global del potencial de Lennard Jones para 13 partículas

Este es el primer resultado de optimalidad global para el potencial de Lennard Jones para $n > 4$.

Artículo aceptado en IEEE 3rd International Conference on Electronics, Control, Optimization and Computer Science (ICECOCS) Diciembre 1-2, 2022.

CIF es completo, no hay espacio para otras configuraciones

10/27

10

Resultados (1)

Aportación de B al PT

Conjunto B: Aristas de distancia en (0,7,1,3)

$PT(IPT) = PT(B(IPT)) + PT(NB(IPT))$

El potencial se descompone en B y NB

$\lim_{n \rightarrow \infty} \frac{|B(OPT_n)|}{|A(OPT_n)|} \leq \lim_{n \rightarrow \infty} \frac{12n}{(2)} = 0$. **A es el total de aristas**

Es importante notar que

- B aporta el 70% de LJ, 83% de MO y 87% para MR
- Y |B| es cada vez más insignificante que el total de aristas

CBR®

8/27

8

Resultados (4)

Diseño de Nanoestructuras: Nano-vehículos

Dos artículos

11/27

11

Resultados (2)

Conjetura resuelta

Todos lo buenos mínimos clústeres provienen de la lattice CB½ o de la lattice CIF

Minimización

Matching

Todas las formas geométricas 3D de los buenos clústeres de mínimo potencial

Hay similitudes y diferencias entre los clústeres óptimos para MR, LJ y MO

Artículo en preparación: Geometría y transformaciones entre las lattices CB½ y CIF para los supuestos clústeres de mínimo potencial de Morse y LJ

9/27

9

Test de monotonía para LJ

Testing Lennard-Jones clusters for optimality

Cite as: J. Chem. Phys. 159, 014301 (2023); doi: 10.1063/5.0158931
Submitted: 18 May 2023 • Accepted: 9 June 2023 •
Published Online: 6 July 2023

Michael K.-H. Kiessling

N	$E^*(N)$	$e^*(N)$	Datos actualizados		
446	-2985.461 112	-0.030 084 759 53	446	-2985.46112	99235 -0.030085
447	-2292.783 729	-0.023 001 211 15	447	-2992.783729	99681 -0.030024
448	-3090.081 058	-0.029 962 458 63	448	-3000.081058	100128 -0.029962

My thanks also go to Professor Carlos Barrón Romero for communicating his N = 447 Lennard-Jones cluster energy, for pointing out Refs. 23 and 28, and for informing me that his cluster data passed the monotonicity test of Sec. II C.

23 C. Barrón-Romero, Optimal clusters, <https://academicos.azc.uam.mx/cbr/OptClusters/comMRLJMO-01.html>.

12/27

12

Estrategias para delimitar los posibles conjuntos de mínimo potencial

Se puede crear una "nube" de elementos alrededor del caso n y seleccionar el que más contribuye para crear el caso n+1.

Del caso n se puede eliminar el elemento que menos contribuye para crear el caso n-1.

Búsqueda en familias incrementando o disminuyendo elementos. Para LJ se usan N13IC, N13IR, N5BP, N7PBP, N6OC.

Era muy raro un caso anómalo en los posibles clústeres de mínimo potencial de LJ porque la gran mayoría de las implementaciones del tipo evolutivo usan las estrategias anteriores o una versión similar.



13

Los estimadores de frontera

Proposición. Para cualquier conjunto de supuestamente mínimo global de tamaño $n \gg 2$, se cumple:

$$\frac{n+1}{n-1} |V(c_{n-1})| \leq |V(c_n)| \leq \frac{n-1}{n+1} |V(c_{n+1})|$$

donde $|V(c(\bullet))|$ es potencial del conjunto respecto a todas las interacciones a pares de los elementos con crecimiento moderado menor al crecimiento lineal.

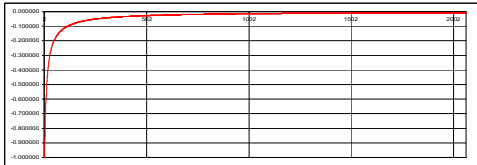


16

Test de monotonía para LJ
Testing Lennard-Jones clusters for optimality

Cite as: J. Chem. Phys. 159: 014301 (2023); doi: 10.1063/5.0158931
Submitted: 18 May 2023 • Accepted: 9 June 2023 • Published Online: 6 July 2023

Michael K.-H. Kiessling



My thanks also go to Professor Carlos Barrón Romero for communicating his N = 447 Lennard-Jones cluster energy, for pointing out Refs. 23 and 28, and for informing me that his cluster data passed the monotonicity test of Sec. II C.



14

Los estimadores de frontera

Para un potencial positivo de crecimiento moderado, se tiene la desigualdad: $|V(c_{n-1})| \lesssim |V(c_n)| \lesssim |V(c_{n+1})|$

donde $|V(c(\bullet))|$ es potencial del conjunto.

El potencial promedio de las interacciones a pares es $\frac{2|V(c_n)|}{n(n-1)}$

Los estimadores de frontera propuestos cierran el intervalo para tener:

$$\frac{n+1}{n-1} |V(c_{n-1})| \leq |V(c_n)| \leq \frac{n-1}{n+1} |V(c_{n+1})|$$

Ya que:

$$1 < \frac{n+1}{n-1} \quad \frac{n-1}{n+1} < 1$$

Artículo en preparación: Frontier estimators of putatively global minimal clusters



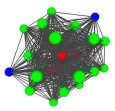
17

Problema de conjuntos de mínimo potencial

$$PT(C_n) = \min_{\text{todas las conf. de } n} \sum_{1 \leq i < j \leq n} v_{ij}$$

donde $v_{ij} = V(r_{ij})$

n elementos



Un grafo completo K_n representa al conjunto de n elementos, ya que sus aristas corresponden con todas las interacciones de pares de elementos que aportan al potencial.

Una estrategia es resolver los problemas creciendo o decreciendo el número de elementos 2,3,4,...,n,



15

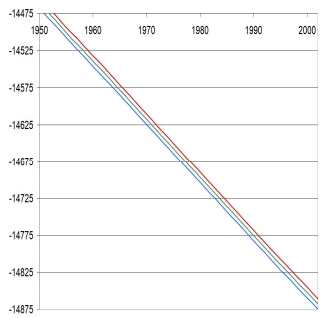
Lennard Jones 2 a 2062 partículas

C. Barrón-Romero, Optimal clusters, <https://academicos.azc.uam.mx/cbr/OptClusters/comMRLJMO-01.html>

	Rojo	Verde	Azul
2	-2.00000	-1.00000	-3.00000
3	-4.5019	-6.0000	-8.0000
4	-7.0572	-9.1029	-10.0000
5	-11.0536	-12.171	-13.0000
6	-14.1582	-16.5054	-17.7969
7	-18.0929	-19.6116	-22.0072
8	-22.1058	-24.1134	-25.4848
9	-26.2128	-28.6219	-29.1417
10	-30.0644	-33.7860	-34.7387
11	-34.4844	-37.8978	-38.3198
12	-38.8444	-43.3028	-44.3108
13	-44.0480	-47.8452	-51.7148
14	-48.2428	-52.3228	-58.0000
15	-53.0532	-56.8127	-59.7973
16	-58.1028	-61.3180	-64.3812
17	-64.5880	-65.0308	-68.9827
18	-69.6531	-72.8098	-74.3081
19	-75.2181	-77.1770	-80.7331
20	-79.2422	-81.8946	-85.3000
21	-84.8141	-86.8008	-89.8529
22	-88.8937	-92.8445	-95.0774
23	-93.2416	-97.3408	-101.2848
24	-99.8504	-102.3727	-105.8139
25	-104.1010	-108.3106	-110.8037
26	-109.0948	-112.8736	-116.8800
27	-114.7207	-117.8274	-122.5000
28	-118.3802	-123.2878	-128.5000
29	-124.8807	-128.2856	-132.4100

Se cumple hasta 2062

2050	-15285.0774	-15242.0866	-15248.8077
2051	-15243.2128	-15249.8584	-15256.9442
2052	-15250.4348	-15258.0912	-15264.8334
2053	-15257.8413	-15268.3153	-15272.9699
2054	-15285.8078	-15272.8199	-15280.1917
2055	-15273.8006	-15280.7869	-15287.8946
2056	-15281.5012	-15288.8800	-15295.6860
2057	-15288.1809	-15296.3809	-15303.5059
2058	-15296.4814	-15304.0859	-15311.8606
2059	-15304.1620	-15311.3412	-15318.8409
2060	-15311.8565	-15319.0421	-15326.2210
2061	-15319.5568	-15326.7388	-15333.6222
2062	-15327.3068	-15334.4384	-15341.8191




18

Morse, MO=M(5.3554,x) de 2 a 2062 partículas

C. Barrón-Romero, Optimal clusters, <https://academicos.azc.uam.mx/cbr/OptClusters/comMRLMO-01.html>

Rojo Verde Azul

2	-3.0000	-3.0000	-3.0000
3	-4.5338	-4.5338	-4.5338
4	-7.5789	-9.0676	-10.0000
5	-13.8559	-16.3288	-17.8541
6	-21.8654	-23.8885	-25.0019
7	-31.6634	-32.8029	-35.6045
8	-43.2510	-43.1177	-43.0020
9	-56.6281	-56.6281	-56.6281
10	-71.8022	-71.8022	-71.8022
11	-88.8811	-88.8811	-88.8811
12	-107.8552	-107.8552	-107.8552
13	-128.8253	-128.8253	-128.8253
14	-150.7914	-150.7914	-150.7914
15	-173.7535	-173.7535	-173.7535
16	-207.7116	-207.7116	-207.7116
17	-252.6657	-252.6657	-252.6657
18	-309.6138	-309.6138	-309.6138
19	-379.5559	-379.5559	-379.5559
20	-463.4920	-463.4920	-463.4920
21	-562.4231	-562.4231	-562.4231
22	-677.3492	-677.3492	-677.3492
23	-809.2703	-809.2703	-809.2703
24	-959.1864	-959.1864	-959.1864
25	-1127.1075	-1127.1075	-1127.1075
26	-1313.0336	-1313.0336	-1313.0336
27	-1516.9647	-1516.9647	-1516.9647
28	-1738.9008	-1738.9008	-1738.9008
29	-1977.8419	-1977.8419	-1977.8419
30	-2233.7880	-2233.7880	-2233.7880

Se cumple hasta 2062

2050	-13355.1322	-13361.6825	-13368.2328
2051	-13361.6824	-13368.1744	-13374.7246
2052	-13368.1160	-13374.6662	-13381.2165
2053	-13374.6079	-13381.1581	-13387.7083
2054	-13381.0998	-13387.6500	-13394.2002
2055	-13387.5917	-13394.1418	-13400.6920
2056	-13394.0836	-13400.6337	-13407.1838
2057	-13397.6016	-13406.5862	-13413.6757
2058	-13403.0829	-13413.0387	-13420.1675
2059	-13410.5195	-13416.6414	-13423.7698
2060	-13417.9104	-13423.0940	-13429.2620
2061	-13423.8903	-13430.0438	-13436.5883
2062	-13431.0735	-13436.9295	-13443.9287

19/27

19

The Thomson Problem and Spherical Crystallography

1904: J. J. Thomson asks how particles pack on a sphere – relevant to viruses, colloid-coated droplets, and multielectron bubbles in helium

Continuum elastic theory (with M. Bowick and A. Travesset) shows that the 5-fold disclinations become unstable to unusual finite length grain boundaries (strings of dislocations) for $R\alpha > 1$.

Finding the ground state of ~26,000 particles on a sphere is replaced by minimizing the energy of only ~250 interacting disclinations, representing points of local 5- and 7-fold symmetry.

Grain boundaries in ground state for $R\alpha > 5-10$ have important implications for the mechanical stability and porosity of colloidomes, proposed as delivery vehicles for drugs, flavors and fragrances.

Simian virus SV40 "Colloidosome" = colloids of radius R coating water droplet (radius R) – Weitz Laboratory

Ordering on a sphere → a minimum of 12 5-fold disclinations, as in soccer balls and fullerenes -- what happens for $R\alpha \gg 1$?

Dislocations (5-7 defect pairs) embedded in spherical ground states

22/27

22

Morse, MR = M(6,x) de 2 a 2062 partículas

C. Barrón-Romero, Optimal clusters, <https://academicos.azc.uam.mx/cbr/OptClusters/comMRLMO-01.html>

Rojo Verde Azul

2	-2.0000	-2.0000	-2.0000
3	-4.5338	-4.5338	-4.5338
4	-7.4527	-9.0449	-10.0000
5	-10.8001	-12.4476	-13.9274
6	-13.8559	-16.2076	-17.4829
7	-17.5591	-21.4172	-24.4945
8	-21.9915	-27.4733	-29.2175
9	-27.1664	-34.4003	-37.0263
10	-33.0859	-42.2000	-45.0132
11	-39.7504	-50.8764	-53.2876
12	-47.1615	-60.4309	-61.8503
13	-55.3190	-70.8644	-71.7127
14	-64.2237	-82.1868	-82.8853
15	-73.8754	-94.4093	-95.3681
16	-84.2744	-107.5318	-109.1610
17	-95.4209	-121.5543	-124.2242
18	-107.3140	-136.4768	-140.5675
19	-120.9549	-152.3093	-158.2008
20	-136.3424	-169.0518	-177.1241
21	-153.4765	-186.7043	-197.3474
22	-172.3574	-205.2668	-218.8707
23	-193.0859	-224.7393	-241.6940
24	-215.6610	-245.1218	-265.8173
25	-240.0825	-266.4143	-291.2406
26	-266.3500	-288.6168	-317.9639
27	-294.4635	-311.8193	-345.9872
28	-324.4220	-336.0218	-375.3105
29	-356.2255	-361.3243	-405.9338
30	-399.8740	-387.7268	-437.8571

Se cumple hasta 2062

2050	-12585.6670	-12591.6938	-12597.4253
2051	-12591.9308	-12597.9577	-12603.9843
2052	-12598.2456	-12604.2216	-12610.2484
2053	-12604.6036	-12610.5356	-12616.5124
2054	-12611.0017	-12616.8936	-12622.8276
2055	-12617.4414	-12623.2954	-12629.2844
2056	-12623.9234	-12629.7412	-12635.8842
2057	-12630.4477	-12636.2310	-12642.6292
2058	-12636.9144	-12642.7649	-12649.5198
2059	-12643.3235	-12649.3434	-12656.5562
2060	-12649.6752	-12655.9672	-12663.7407
2061	-12655.9703	-12662.6374	-12670.9742
2062	-12662.2098	-12669.3531	-12678.2587

20/27

20

Configuraciones de menor energía conocidas del problema de Thomson

https://en.wikipedia.org/wiki/Thomson_problem

Se cumple de 57 a 189

THOMSON			
2	Inferior	0.5000	Superior
3	1.5000	1.7321	1.2247 *
4	3.4641	3.7472	3.2373 *
5	6.1237	6.4747	5.9191 *
6	9.7120	9.9853	9.6353 *
7	13.9794	14.4530	14.0538 *
8	19.2705	19.6753	19.3200 *
9	25.2968	25.7600	25.4465 *
10	32.0200	32.7169	32.4772 *
11	39.8874	40.5965	40.2261 *
12	48.7157	49.1653	49.0444 *
13	58.5044	58.8532	58.6438 *
14	69.2621	69.2624	69.1450 *
15	79.9869	80.702	80.5234 *
16	92.1946	92.9117	92.7941 *
17	105.2999	106.0504	105.9560 *
18	119.3678	120.0845	120.0795 *
19	134.2121	135.0895	134.9993 *
20	150.0094	150.8816	150.8778 *
21	166.7638	167.6416	167.6411 *
22	184.4058	185.2875	185.3911 *
23	202.8340	203.9302	203.9295 *
24	222.0469	223.3471	223.4950 *
25	242.7686	243.1828	243.9227 *
26	264.1305	265.1333	265.2024 *
27	286.3440	287.3026	287.4522 *
28	309.4028	310.4915	310.7320 *
29	333.4909	334.6344	334.8037 *
30	358.5369	359.6039	359.8288 *
31	384.4942	385.5308	385.8638 *
32	411.2329	412.2613	412.6193 *
33	438.8588	440.2041	440.4884 *
34	467.7168	468.9049	469.2222 *
35	497.3233	498.5699	498.8688 *
36	527.8975	529.1224	529.4734 *
37	559.3980	560.6169	560.9204 *
38	591.7644	593.0385	593.4122 *
39	625.0946	626.3980	626.7945 *
40	659.3869	660.6753	661.1209 *
41	694.5561	695.9167	696.3670 *
42	730.7126	732.0781	732.5627 *
43	767.7892	769.1908	769.6133 *
44	805.8190	807.1743	807.7253 *
45	844.7173	846.1884	846.7819 *
46	884.4815	886.1871	886.7823 *
47	925.5523	927.0593	927.4916 *
48	967.3962	968.7135	969.4000 *
49	1009.9353	1011.5372	1012.1196 *
50	1053.7064	1055.1823	1055.8285 *
51	1098.2510	1099.9193	1100.5006 *
52	1143.6121	1145.1180	1145.6917 *
53	1190.3374	1191.9223	1192.8581 *
54	1237.7655	1239.3515	1240.0774 *
55	1286.1268	1287.7127	1288.4738 *
56	1335.4680	1337.0949	1337.8338 *

* No satisface 22 casos
Se satisface N=22, 24-204 y 256

23/27

23

Problema de Thomson

https://en.wikipedia.org/wiki/Thomson_problem

Determinar mínimo potencial electrostático simplificado sobre todas las configuraciones de N electrones sobre la esfera unitaria:

$$\min_{\{r_i\}} \sum_{i < j} \frac{1}{|r_i - r_j|}$$

$r_i = |r_i - r_j|$

Es la distancia entre los vectores sobre la esfera de los electrones i e j

El problema de Thomson está relacionado con el 7to de los 18 problemas matemáticos no resueltos propuestos por el matemático Steve Smale: "Distribución de puntos en la 2D esfera". La principal diferencia es que en el problema de Smale la función a minimizar no es el potencial electrostático sino un potencial logarítmico dado por $-\log r_{ij}$. Una segunda diferencia es que la pregunta de Smale es sobre el comportamiento asintótico del potencial total cuando el número N de puntos llega a infinito, no para valores concretos de N.

21/27

21

Quantum partition functions from classical distributions. Application to rare-gas clusters

JOURNAL OF CHEMICAL PHYSICS VOLUME 114, NUMBER 17 1 MAY 2001

Quantum partition functions from classical distributions: Application to rare-gas clusters

F. Calvo, M. J. P. K. Doye, and D. J. Wales

University Chemical Laboratory, Lensfield Road, Cambridge CB2 1RQ, United Kingdom

(Received 9 December 2000; accepted 8 February 2001)

<https://www.wales.ch.cam.ac.uk/~florent/LJZPE/table.html>

LJ		SE		A ₆		A ₇		A ₈	
30	-109.2866	-122.2835	-113.2773	30	-113.2773	30	-113.2773	30	-113.2773
31	-130.6268	-133.6864	-137.1339	31	-125.2877	-128.1044	-131.7858	31	-114.9208
32	-136.7901	-139.6356	-142.4922	32	-130.2478	-133.9030	-138.6447	32	-119.1103
33	-140.9459	-144.8427	-148.6443	33	-135.2056	-139.9310	-147.5688	33	-123.1100
34	-146.0445	-150.2465	-153.9954	34	-140.1931	-143.9262	-147.6142	34	-128.7292
35	-152.5782	-155.7546	-159.1381	35	-146.4003	-149.4290	-152.6515	35	-134.0445
36	-157.7440	-161.6204	-164.9188	36	-151.3729	-155.7731	-159.2199	36	-138.8106
37	0.0000	-167.0337	-171.0726	37	0.0000	-160.2772	-164.1458	37	0.0000
66	-334.9716	-345.4394	-352.8116	66	-322.1849	-329.1449	-334.1449	66	-329.3752
67	-390.7379	-401.8947	-408.2364	67	-380.0173	-387.1000	-392.4376	67	-379.8769
68	0.0000	-411.1016	-416.2783	68	0.0000	-409.3306	-414.1101	68	0.0000
69	-467.3933	-479.1491	-484.2364	69	-455.1192	-461.8192	-467.3933	69	-455.1192
70	-524.0205	-536.8822	-541.6387	70	-511.7399	-517.7399	-522.6387	70	-511.7399
71	-580.6477	-593.6477	-598.2924	71	-568.3606	-573.6477	-578.2924	71	-568.3606
72	-637.2749	-649.9749	-654.4375	72	-624.9813	-629.9749	-634.4375	72	-624.9813
73	-693.9021	-706.4021	-710.7700	73	-681.6020	-686.4021	-690.7700	73	-681.6020
74	-750.5293	-762.8293	-767.1000	74	-738.2227	-742.8293	-747.1000	74	-738.2227
75	-807.1565	-819.0565	-823.2250	75	-794.8434	-799.0565	-803.2250	75	-794.8434
76	-863.7837	-875.4837	-879.5500	76	-851.4641	-855.4837	-859.5500	76	-851.4641
77	-920.4109	-931.9109	-935.8750	77	-908.0848	-912.0109	-915.8750	77	-908.0848
78	-977.0381	-988.3381	-992.2000	78	-964.7055	-968.5381	-972.2000	78	-964.7055
79	-1033.6653	-1044.8653	-1048.5625	79	-1021.3262	-1025.0653	-1028.6625	79	-1021.3262
80	-1090.2925	-1101.3925	-1105.0000	80	-1077.9469	-1081.5925	-1085.0000	80	-1077.9469
81	-1146.9197	-1157.3197	-1160.8125	81	-1134.5676	-1138.1197	-1141.5000	81	-1134.5676
82	-1203.5469	-1213.7469	-1217.1250	82	-1191.1883	-1194.6969	-1198.0000	82	-1191.1883
83	-1260.1741	-1270.2741	-1273.5500	83	-1247.8090	-1251.2669	-1254.5000	83	-1247.8090
84	-1316.8013	-1326.7013	-1330.0000	84	-1304.4297	-1307.8333	-1311.0000	84	-1304.4297
85	-1373.4285	-1383.2285	-1386.4375	85	-1361.0504	-1364.3500	-1367.5000	85	-1361.0504
86	-1430.0557	-1439.7557	-1442.9375	86	-1417.6711	-1420.9167	-1424.0000	86	-1417.6711
87	-1486.6829	-1496.282							

